

کاربرد مدل‌های LS-SVM و WNN ANN و GEP در شبیه‌سازی بارش-رواناب رودخانه خیاوچای

محمد رضا نیک‌پور^{۱*}، هادی ثانی‌خانی^۲، سجاد محمودی بابلان^۳، عارف محمدی^۴

۱. استادیار، گروه مهندسی آب، دانشکده کشاورزی و منابع طبیعی، دانشگاه محقق اردبیلی

۲. استادیار، گروه علوم و مهندسی آب، دانشکده کشاورزی، دانشگاه کردستان

۳ و ۴. کارشناس مهندسی آب، دانشکده کشاورزی و منابع طبیعی، دانشگاه محقق اردبیلی

(تاریخ دریافت ۱۳۹۵/۱۰/۰۱؛ تاریخ تصویب ۱۳۹۵/۱۱/۲۰)

چکیده

پیش‌بینی جریان رودخانه به‌منظور مدیریت و برنامه‌ریزی منابع آب در رودخانه‌ها، دریاچه‌ها، مخازن سدها و همچنین برای حفاظت کناره‌های رودخانه در زمان وقوع سیالاب انجام می‌گیرد. در این تحقیق از مدل‌های شبکه‌های عصبی مصنوعی، هیبرید موجک-عصبی، برنامه‌ریزی بیان ژن و کمترین مربعات ماشین بردار پشتیبان به‌منظور تخمین جریان روزانه رودخانه خیاوچای استفاده شد. بدین‌منظور داده‌های دبی و بارش روزانه ایستگاه هیدرومتری پل سلطانی واقع بر رودخانه یادشده طی دوره آماری ۱۳۹۲-۱۳۷۸ به کار گرفته شد. پس از محاسبه ضرایب همبستگی متقابل متغیرهای بارش و دبی، شش الگوی مختلف به‌منظور تخمین رواناب روزانه تعیین شد. برای ارزیابی مدل‌ها از شاخص‌های آماری و آزمون ANOVA استفاده شد. نتایج بیان‌کننده برتری مدل هیبرید موجک-عصبی با بیشترین ضریب همبستگی ($R=0.877$)، کمترین ریشه میانگین مربعات خطأ ($RMSE=0.696$) و ضریب نش ساتکلیف برابر 0.767 در مرحله صحت‌سنجی بود. نتایج آزمون آنوانیز نتایج شاخص‌های آماری را تأیید کرد و مدل هیبرید موجک-عصبی با داشتن کمترین مقدار آماره $F(11, 0.01)$ و بیشترین سطح معناداری (0.75) به عنوان بهترین مدل شناخته شد. در برآورد دبی بیشینه (سیالاب) نیز مدل یادشده با میانگین خطای نسبی $30/19$ درصد، به مقدار شایان توجهی خطای کمتری نسبت به سایر مدل‌ها داشت.

کلیدواژگان: بارش-رواناب، برنامه‌ریزی بیان ژن، حداقل مربعات ماشین بردار پشتیبان، شبکه عصبی مصنوعی، هیبرید موجک-عصبی.

مدل‌سازی کردند که نتایج به دست آمده از GP با داده‌های واقعی مطابقت خوبی نشان داد. آیتک و همکارانش [۵] با مدل‌های ANN و GEP بارش-رواناب روزانه رودخانه جوبیاتا در ایالت پنسیلوانیای آمریکا را شبیه‌سازی کردند. نتایج تحقیق، برتری مدل GEP را نسبت به ANN در تخمین رواناب روزانه رودخانه یادشده نشان داد. نورانی و همکارانش [۶] مدل ترکیبی موجک-عصبی را برای شبیه‌سازی بارش-رواناب روزانه گیگل آبای واقع در اتیوبی به کار برند. در تحقیق یادشده برای زیاد کردن دقت تخمین مدل، از مقادیر ثبت شده بارش توسط ماهواره‌ها استفاده شد. نایاک و همکارانش [۷] برای مدل‌سازی بارش-رواناب و استخراج هیدروگراف‌های سیالاب حوضه آبریز مالاپرایها واقع در هندوستان از آمار روزانه دبی، بارش و تبخیر استفاده کردند. در تحقیق آنها، مدل موجک-عصبی نسبت به شبکه‌های عصبی مصنوعی عملکرد بهتری نشان داد. بدرازد و همکارانش [۸] عملکرد سه مدل ANN، ANFIS و WNN را در تخمین رواناب روزانه حوضه آبریزی واقع در استرالیا را مقایسه کردند. همچنین به منظور مدیریت سیالاب‌ها از داده‌های بارش-رواناب ساعتی دو ایستگاه بالادست و پایین دست در حوضه آبریز یادشده استفاده کردند. در نهایت، مدل WNN عملکرد بهتری را مدل‌سازی بارش-رواناب و پیش‌بینی هیدروگراف‌های سیالاب به همراه داشت. نورانی [۹] برای اولین بار، کاربرد شبکه‌های عصبی عاطفی^۱ را در مدل‌سازی بارش-رواناب مطرح کرد. منطقه‌ای که او مطالعه کرد، دو حوضه آبریز با شرایط اقلیمی متفاوت در کشور فرانسه بود. نتایج نشان داد استفاده از مدل یادشده سبب بهبود دقت نتایج در مراحل آموزش و صحبت‌سنگی نسبت به شبکه‌های عصبی کلاسیک می‌شود. در سال‌های اخیر ماشین بردار پشتیبان (SVM) به عنوان یک مدل جدید به منظور تخمین متغیرهای هیدرولوژیکی به کار گرفته می‌شود و موفقيت‌های شایان توجه در زمینه‌های مختلف، از جمله مدل‌سازی و پیش‌بینی بارش و رواناب ماهانه به همراه داشته است. بهزاد و همکارانش [۱۰] با استفاده از آمار یک ایستگاه هیدرومتری واقع بر رودخانه بختیاری، جریان روزانه را با درنظر گرفتن آمار روز قبل پیش‌بینی کردند. نتایج پژوهش آنها نشان داد SVM عملکرد بهتری نسبت به شبکه‌های عصبی دارد. با ترسیس و همکارانش [۱۱] بارش-رواناب روزانه

مقدمه

در بیشتر پژوهه‌های مدیریت منابع آب و کنترل سیالاب، داشتن یک تخمین از رواناب به دست آمده از بارش ضروری است. هدف نهایی از مدل‌سازی بارش-رواناب نیز یافتن راه حلی با دقت مناسب برای برآورد رواناب بارش در یک حوضه آبریز و بررسی ارتباط تغییرات آن با مؤلفه‌های مؤثر در تولید رواناب است؛ اما بارش-رواناب فرایندی پیچیده و غیرخطی است و تغییرات مکانی و زمانی وسیعی دارد و به سادگی مدل‌سازی نمی‌شود. به همین دلیل مدل‌های پیش‌بینی کننده مختلفی با دیدگاه‌های متفاوت برای توسعه و بهبود مدل‌سازی این فرایند ارائه شده است. در حالت کلی، سه نگرش تئوریکی، مفهومی و سیستمی در مدل‌سازی بارش-رواناب وجود دارد. به کارگیری مدل‌های تئوری و مفهومی به اطلاعات پیچیده و وسیع نیاز دارد؛ اما مدل‌های سیستمی (جعبه سیاه) با اینکه بر مبنای قوانین فیزیکی نیستند، در بسیاری از حالت‌ها ممکن است نتایج دقیقی به همراه داشته باشند و در تصمیم‌گیری‌ها مفید واقع شوند [۱]. تا کنون تحقیقات متعددی در خصوص استفاده از مدل‌های جعبه سیاه (هوشمند) شامل شبکه عصبی مصنوعی^۲، برنامه‌ریزی بیان ژن^۳، فازی-عصبی^۴، هیبرید موجک-عصبی^۵ و ماشین بردار پشتیبان^۶ برای تخمین جریان (رواناب) روزانه و ماهانه رودخانه‌ها صورت پذیرفته است.

پیشینه تحقیق

ویگهام و کراپر [۲] با استفاده از برنامه‌ریزی ژنتیک^۷ و مدل قطعی ایهاکرس^۸ فرایند بارش-رواناب روزانه را در دو حوضه تیفی و نامی واقع در کشور ولز مدل‌سازی کردند. نتایج برنامه‌ریزی ژنتیک دقت بیشتری نسبت به مدل قطعی داشت. لی یونگ و همکارانش [۳] با مطالعه رفتار بارش-رواناب در زمان‌های متفاوت نتیجه گرفتند که استفاده از مدل برنامه‌ریزی ژنتیک در پیش‌بینی بارش-رواناب در حوضه‌های آبریز با دقت مناسبی همراه است. جایاوردن و همکارانش [۴] با استفاده از برنامه‌ریزی ژنتیک فرایند بارش-رواناب را با به کارگیری داده‌های روزانه در دو حوضه نسبتاً بزرگ چین

- 1. Artificial Neural Network (ANN)
- 2. Gene Expression Programming (GEP)
- 3. Neuro-Fuzzy
- 4. ANN-Wavelet Hybrid (WNN)
- 5. Support Vector Machine (SVM)
- 6. Genetic Programming (GP)
- 7. IHACRES

به ایستگاه پل سلطانی واقع در رودخانه یادشده طی دوره آماری ۱۵ ساله از سال ۱۳۷۸ تا سال ۱۳۹۲ استفاده شد. ایستگاه پل سلطانی در $40^{\circ} - 47^{\circ}$ طول جغرافیایی، ۳۸° عرض جغرافیایی، در ارتفاع ۱۴۲۰ متری از سطح دریا واقع شده است. شکل ۱ محدوده و موقعیت کلی منطقه مطالعه شده را نشان می‌دهد. داده‌های بارش و رواناب روزانه از سازمان هواشناسی و شرکت آب منطقه‌ای استان اردبیل اخذ شد. تعداد کل نمونه‌ها طی دوره آماربرداری، معادل ۵۴۹۰ داده است. ۶۰ درصد داده‌های یادشده ($۳۳۰\ ۳$ داده) به عنوان داده‌های آموزش^۱ و ۴۰ درصد آنها (2187 داده) به عنوان داده‌های صحت‌سنجی^۲ در نظر گرفته شد. در جدول ۱ پارامترهای آماری مربوط به داده‌های اندازه‌گیری شده در بازه زمانی یادشده نشان داده شده است.

انتخاب الگوهای مناسب

به منظور انتخاب ترکیب مناسب از متغیرهای ورودی مدل‌ها، از آزمون‌های آماری استفاده شد و مقادیر ضرایب خودهمبستگی جزئی متغیر دبی و همبستگی متقابل متغیرهای بارش و دبی محاسبه شد. مقادیر همبستگی بین متغیرهای دبی و بارش و تأخیرهای آنها در جدول ۲ ارائه شده است. در جدول یادشده، پارامترهای R و Q به ترتیب بیان کننده مقادیر اندازه‌گیری شده بارش و دبی در ایستگاه پل سلطانی و اندیس τ شاخص گام زمانی فعلی است. با توجه به همبستگی متقابل و معنادار بین متغیرهای ورودی و خروجی، الگوهای مختلفی برای تخمین رواناب روزانه رودخانه درهود مطابق با جدول ۳ استفاده شد.

مدل‌های هوشمند

در تحقیق حاضر برای اجرای مدل‌های شبکه عصبی مصنوعی، هیبرید موجک- عصبی و کمترین مربعات ماشین بردار پشتیبان از MATLAB و برای به کارگیری مدل برنامه‌نویسی GeneXproTools استفاده شد. در ادامه به توضیح مختصر مدل‌های یادشده و ضرایب به کاررفته برای واسنجی مدل‌ها پرداخته می‌شود.

- 2. Training
- 3. Testing

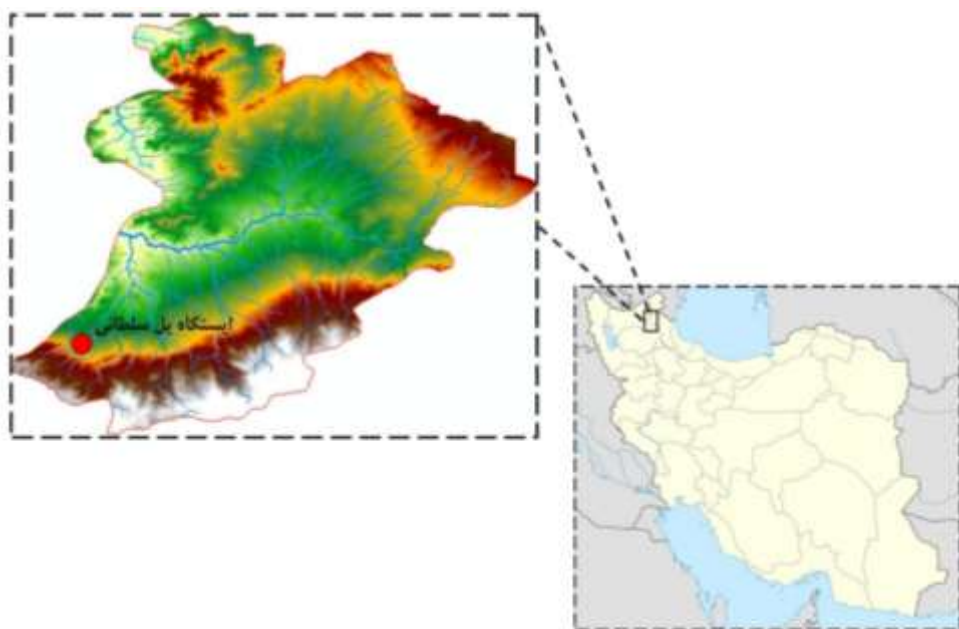
حوضه آبخیزی واقع در کالیفرنیا را شبیه‌سازی کردند. مدل SVM با سه نوع تابع کرنل با مدل ANN مقایسه شد. در نهایت، ماشین بردار پشتیبان شبیه‌سازی دقیق‌تری از بارش- رواناب داشت. آداموسکی [۱۲] مدل‌های ماشین بردار پشتیبان و شبکه عصبی مصنوعی را برای شبیه‌سازی بارش- رواناب حوضه کوهستانی دهرادان در هندوستان را استفاده کردند. مدل SVM در پیش‌بینی رواناب مستقیم، جریان پایه و جریان کل این منطقه کارآیی بهتری از خود نشان داد. قربانی و همکارانش [۱۳] کارآیی سه مدل شبکه عصبی بیزین، SVM و GEP را در تخمین رواناب ماهانه رودخانه کاکارضا را مقایسه کردند. از میان سه مدل یادشده، شبکه عصبی بیزین بهترین نتیجه را به همراه ناظری تهروندی و همکارانش [۱۴] رواناب ماهانه رودخانه نازلوچای واقع در غرب دریاچه ارومیه را با استفاده از داده‌های بارش و دبی با تأخیرهای یک تا پنج ماه بررسی کردند. در تحقیق آنها مدل ANFIS نسبت به مدل‌های SVM و GP نتیجه بهتری به همراه داشت. بر اساس موارد یادشده و دقت قابل قبول مدل‌های هوشمند در پیش‌بینی جریان رودخانه، در تحقیق حاضر از مدل‌های شبکه عصبی مصنوعی، هیبرید موجک- عصبی، برنامه‌ریزی بیان τ و کمترین مربعات ماشین بردار پشتیبان^۱ برای مدل‌سازی بارش- رواناب روزانه رودخانه خیاوچای واقع در شهرستان مشکین‌شهر استفاده شد. رودخانه خیاوچای مهم‌ترین منبع تأمین آب شهرستان مشکین‌شهر و یکی از سرشاخه‌های اصلی رودخانه قره‌سو است. خیاوچای از کوه‌های سبلان سرچشمه می‌گیرد و پس از عبور از مسیرهای کوهستانی وارد شهرستان مشکین‌شهر می‌شود. به همین دلیل سالانه بارش‌های رگباری، سیلاب‌های مخربی را در منطقه یادشده به جای می‌گذارد. بر این اساس و نظر به سیل خیزبودن حوضه آبریز خیاوچای، آگاهی از چگونگی ارتباط بین بارندگی و رواناب حوضه آبریز یادشده به منظور بهبود برنامه‌ریزی و اقدامات مدیریتی اهمیت دارد.

مواد و روش‌ها

منطقه مطالعه شده

حوضه آبریز خیاوچای با وسعت $142/3$ کیلومترمربع در استان اردبیل، شهرستان مشکین‌شهر واقع شده است. برای پیش‌بینی رواناب روزانه خیاوچای از داده‌های آماری مربوط

-
- 1. Least Square Support Vector Machine (LS-SVM)



شکل ۱. موقعیت جغرافیایی منطقه مطالعه شده

جدول ۱. خصوصیات آماری مقادیر دبی روزانه رودخانه استفاده شده در بازه زمانی ۱۳۷۸-۱۳۹۲

پارامتر	واحد	تعداد رکورد	میانگین	کمترین	بیشترین	انحراف معیار	ضریب تغییرات	چولگی
بارش	(mm)	۵۴۹۰	۱۰۸۳	۰	۴۸/۷	۳/۳۹۲	۳/۱۳۰	۵/۶۱۴
دبی	(m³/s)	۵۴۹۰	۰/۶۱۲	۰	۱۷/۸	۱/۰۵۹	۱/۷۲۶	۶/۰۴۰

جدول ۲. مقادیر همبستگی بین متغیرهای بارش و دبی

R _{t-2}	R _{t-1}	R _t	Q _{t-1}
۰/۰۱۷	۰/۰۰۷	۰/۰۰۶	۰/۸۶۰

جدول ۳. ساختار الگوهای استفاده شده در تحقیق حاضر

شماره الگو	ساختار ورودی	خروجی
۱	R _t	Q _t
۲	R _{t-1} , R _t	Q _t
۳	R _{t-2} , R _{t-1} , R _t	Q _t
۴	Q _{t-1} , R _t	Q _t
۵	Q _{t-1} , R _{t-1} , R _t	Q _t
۶	Q _{t-1} , R _{t-2} , R _{t-1} , R _t	Q _t

می شود [۱۳]. در این مدل برای حل معادلات از برنامه ریزی دوگانه استفاده می شود. بنابراین، حل مسائل در ابعاد بزرگ با استفاده از مدل یادشده، هزینه محاسباتی را بهشت افزایش می دهد. برای رفع این مشکل، سویکن و همکارانش [۱۶] روش کمترین مربعات ماشین بردار

مدل کمترین مربعات ماشین بردار پشتیبان (LS-SVM) ماشین بردار پشتیبان نوعی سیستم یادگیری کارآمد بر مبنای تئوری بهینه سازی مقید است که توسط وپینک [۱۵] ارائه شد. در این مدل از اصل استقرای کمینه سازی خطای ساختاری استفاده و به یک جواب بهینه کلی منجر

تعداد تکرار^۵ در مرحله آموزش، تعداد لایه‌های شبکه و تعداد نورون‌های لایه میانی است. در حالت کلی، هر چه تعداد تکرار در آموزش شبکه بیشتر شود، خطای شبیه‌سازی شبکه کمتر می‌شود؛ اما هنگامی که تعداد تکرارها از یک مقدار تجاوز کند، خطای دسته آزمایشی نیز افزایش می‌یابد. بهترین تعداد تکرار آموزشی مقداری است که خطای هر دو دسته آزمایشی و آموزشی تا حد ممکن کمینه شوند [۱۸]. به‌منظور به حداقل رساندن خطای مدل‌سازی پس از انجام تحلیل حساسیت، توابع و مقادیر بهینه در نظر گرفته شده برای شبکه عصبی استفاده شده در تحقیق حاضر به شرح جدول ۴ است.

جدول ۴. مقادیر پارامترهای استفاده شده در مدل شبکه‌های

عصبی مصنوعی

بهترین مقدار	پارامتر
Feed-forward back propagation	نوع شبکه عصبی
1	تعداد لایه پنهان
Levenberg-Marquardt 1-10	الگوریتم آموزش تعداد نورون
TANSIG	تابع انتقالی برای لایه اول
RURELIN 1000	تابع انتقالی برای لایه دوم تعداد تکرار

مدل ترکیبی موجک-عصبی (WNN)

تبديل موجک یکی از مبدل‌های ریاضی کارآمد در زمینه پیش‌بینی سیگنال است. آموزش شبکه عصبی مصنوعی با پیش‌پردازش داده‌ها با استفاده از تبدیل موجک کارکرد مؤثری در زیاد کردن دقت پیش‌بینی‌ها دارد. تبدیل‌های موجکی به دو دسته موجک پیوسته و گسسته تقسیم می‌شوند. برای کاربردهای عملی، هیدرولوژیست‌ها اغلب سیگنال‌های زمانی پیوسته در اختیار ندارند، بلکه بیشتر سیگنال‌های زمانی گسسته در اختیار آنهاست. از این‌رو، تبدیل موجک گسسته در طرح‌های هیدرولوژی بیشتر استفاده می‌شود [۱۹]. موجک سه مشخصه تعداد نوسان محدود، بازگشت سریع به صفر در هر دو جهت مثبت و منفی در دامنه خود و میانگین صفر دارد که شرط مقبولیت نامیده می‌شود و به شکل رابطه ۶ بیان می‌شود.

پشتیبان را ارائه کردند. در این مدل از معادلات خطی ساده برای حل مسائل استفاده می‌شود که به‌طور مؤثری پیچیدگی الگوریتم را کاهش می‌دهد.تابع رگرسیونی استفاده شده در مدل SVM برای تخمین مسائل به صورت رابطه ۱ است.

$$y(x_i) = w^T \phi(x_i) + b \quad (1)$$

که در آن $\phi(x_i)$ ترسیم غیرخطی ورودی‌ها در فضای ویژگی با ابعاد زیاد است. پارامترهای w و b به‌ترتیب مقادیر وزن‌ها و بایاس تابع رگرسیون هستند که از طریق حداقل‌سازی تابع هدف در رابطه ۵ تعیین می‌شوند.

$$\min_{w,e,b} j(w,e) = \frac{1}{2} w^T w + \frac{\gamma}{2} \sum_{i=1}^N e_i^2 \quad (2)$$

با محدودیت:

$$y_i = w^T \phi(x_i) + b + e_i \quad i = 1, 2, \dots, N \quad (3)$$

که در آن γ پارامتر تنظیم‌کننده بخش خطای e_i و خطای داده‌های آموزش است. در نهایت، تابع تخمین مدل LS-SVM به صورت رابطه ۴ تعریف می‌شود.

$$y(x) = \sum_{i=1}^N a_i K(x_i, x_j) + b \quad (4)$$

در رابطه ۴ تابع کرنل نامیده می‌شود که مطابق رابطه ۵، به عنوان تابعی با ایجاد ضرب داخلی در فضای ویژگی معرفی می‌شود [۱۶].

$$K(x_i, x_j) = \phi(x_i) \cdot \phi(x_j), \quad i, j = 1, 2, \dots, N \quad (5)$$

برای تحلیل حساسیت مدل LS-SVM تابع کرنل خطی^۱، چندجمله‌ای^۲ و پایه شعاعی^۳ آزموده شد که از بین توابع یادشده، کرنل پایه شعاعی بیشترین سرعت و کمترین خطای داشت. در ضمن، مقادیر پارامترهای تنظیم‌کننده و کرنل به‌ترتیب برابر ۱۰ و ۰/۴ در نظر گرفته شد.

شبکه عصبی مصنوعی (ANN)

شبکه عصبی مصنوعی یکی از روش‌های محاسباتی است که به کمک فرایند یادگیری^۴ با استفاده از پردازشگرهایی به نام نورون تلاش می‌کند با شناخت روابط ذاتی بین داده‌ها، نگاشتی میان فضای ورودی (لایه ورودی) و فضای مطلوب (لایه خروجی) ارائه دهد [۱۷]. پارامترهای مؤثر در مدل‌سازی شبکه‌های عصبی شامل

1. Linear
2. Polynomial
3. Radial Basis Function Kernel
4. Learning

اظهار شده، که این هم مطابق با یکتابع برآش ارزیابی می شود تا میزان مناسب بودن یک راه حل در حیطه مسئله تعیین شود. معمولاً تابع برآش به وسیله پردازش تعدادی نمونه از مسئله هدف ارزیابی می شود که موارد برآش نیز نامیده می شوند. اگر کیفیت رضایت بخش از یک راه حل پیدا شود و یا نسل ها به تعداد معینی بررس، تکامل متوقف شده و بهترین راه حل یافت شده گزارش داده می شود. از طرف دیگر، اگر شرایط توقف یافتن نشود، بهترین راه حل از نسل حاضر نگه داشته می شود (به معنای نخبه گزینی است) و بقیه راه حل ها به فرایندی گرینشی واگذار می شوند. گرینش یا انتخاب، کارکرد بقای شایستگی دارد و بر اساس آن بهترین افراد شناس بهتری برای تولید فرزندان دارند. کل این روند برای چندین نسل تکرار می شود و با پیش رفت نسل به جلو، انتظار می رود که کیفیت جمعیت نیز به طور متوسط بهبود یابد [۲۲]. در این روش پدیده های مختلف با استفاده از مجموعه ای از توابع و مجموعه ای از ترمینال ها، مدل سازی می شوند. مجموعه توابع، معمولاً شامل توابع اصلی حسابی { /, -, ×, +, }، توابع مثلثاتی و سایر توابع ریاضی و یا توابع تعریف شده توسط کاربر است که معتقد است می تواند برای تفسیر مدل مناسب باشد. مجموعه ترمینال ها، از مقادیر ثابت و متغیرهای مستقل مسئله تشکیل شده اند [۲۱]. برای استخراج رابطه ریاضی برآورد مقدار دبی در این تحقیق علاوه بر چهار تابع اصلی حسابی، از توابع مثلثاتی شامل \sin و \cos و همچنین عملگرهای $\sqrt{ } \text{Exp}, \ln, \text{power}$ استفاده شد. پس از تحلیل حساسیت مدل برنامه ریزی بیان ژن در تخمین دبی، پارامترهای استفاده شده و نرخ آنها در جدول ۵ ارائه شده است.

$$\int_{-\infty}^{+\infty} \phi(t) dt = 0. \quad (6)$$

در رابطه ۶، $\phi(t)$ تابع تبدیل موج (موجک مادر) است. عبارت مادر به این دلیل به کار رفته است که توابع (موجک های) متفاوت به وجود آمده براساس پارامترهای مقیاس و انتقال همگی از تابع پایه (موجک مادر) ناشی می شوند. تبدیل موجک عملگری است که یک تابع را به مجموعه ای از تبدیل موجک های مادر اصلاح شده تبدیل می کند که این تبدیل موجک های اصلاح شده همان تبدیل موجک دختر هستند [۲۰]. بعد از تعیین نوع موجک مادر، مهم ترین اقدام تعیین سطح تجزیه بود. استفاده از بیشترین سطح تجزیه موجب کندشدن فرایند آموزش و در برخی موارد می تواند موجک کاشه دقت مدل نیز شود. برای انتخاب سطح تجزیه تبدیل موجک گسسته، از رابطه ۳ استفاده شد [۱۹]. در این رابطه، L سطح تجزیه، N تعداد داده های سری زمانی و Int تابع جزء صحیح است. در تحقیق حاضر از موجک های خانواده دایچیز^۱ با سطح تجزیه ۳ استفاده شد. در نهایت، داده های تجزیه توسط موجک پس از نرمال سازی (با استفاده از رابطه به عنوان ورودی شبکه عصبی تعریف شد).

$$L = \text{Int}[\log(N)] \quad (7)$$

برنامه ریزی بیان ژن (GEP)

برنامه ریزی بیان ژن تعیین یافته الگوریتم ژنتیک است که برای اولین بار بر اساس تئوری داروین توسط فریرا در سال ۱۹۹۹ ارائه شد [۲۱]. اولین مرحله در الگوریتم GEP، تولید جمعیت اولیه از راه حل هاست. این موضوع می تواند به وسیله فرایند تصادفی و یا با استفاده از مقداری اطلاعات درباره مسئله انجام شود. سپس کروموزوم ها به صورت بیان درختی

جدول ۵. مقادیر پارامترهای استفاده شده در روش برنامه ریزی بیان ژن

عملکردهای ژنتیکی	تنظیمات کلی
۰/۰ ۴۴	نرخ جهش
۰/۱	نرخ وارون سازی
۰/۱	نرخ ترانهش درج متوالی
۰/۱	نرخ ترانهش ریشه درج متوالی
۰/۳	نرخ ترکیب تکنقطه ای
	تعداد کروموزوم ها
	اندازه رأس
	تعداد ژن در هر کروموزوم
	تعداد جمعیت تولیدی
	تابع پیوند
	مجموع (+)
۳۰	
۷	
۳	
۱۰۰۰	

صحت‌سنگی و بهازی الگوهای مختلف گزارش شده است. بر اساس نتایج گزارش شده در جدول‌های یادشده، برای مدل برنامه‌ریزی بیان ژن، الگوی^۴، برای مدل هیبرید موجک-عصی الگوی^۵ و برای مدل‌های کمترین مربعات ماشین بردار پشتیبان و شبکه‌های عصبی مصنوعی الگوی^۶ به طور نسبی بهترین عملکرد را به همراه داشت. بنابراین، جریان رودخانه خیاوچای در حالت کلی متأثر از مقدار آن در روز قبل و میزان بارش همان روز است. همچنین استفاده از مقادیر بارش در گام‌های زمانی پیشین نیز تا حدودی بهبود نتایج مدل‌ها در تخمین جریان رودخانه به همراه داشت. از سوی دیگر، ملاحظه می‌شود که در کلیه مدل‌ها، الگوهای^۱،^۲ و^۳ نتایج ضعیفی را به دنبال داشته است و این بیان می‌کند که در حوضه آبریز خیاوچای صرفاً با استفاده از مقادیر بارش به تنها یی نمی‌توان برآورد صحیحی از جریان رودخانه داشت. در تحقیقات مشابه سایر محققان در خصوص پیش‌بینی جریان رودخانه نیز الگوی تعریف شده براساس ترکیب گام‌های زمانی فعلی و پیشین بارش-رواناب، بهترین نتیجه را به دنبال داشت که از آن جمله می‌توان به تحقیقات جایاوردن و همکارانش^[۱۲]، نورانی و همکارانش^[۶] و فربانی و همکارانش^[۱۳] اشاره کرد. مقایسه نتایج مدل‌های مختلف بهازی بهترین الگو بیان می‌کند که مدل هیبرید موجک-عصی با بیشترین ضریب همبستگی ($R=0.877$)، کمترین ریشه میانگین مربعات خطای^(RMSE=0.696) و همچنین ضریب نش ساتکلیف برابر^{۰.۷۶۷} در مرحله صحت‌سنگی عملکرد بهتری را نسبت به سایر مدل‌ها در تخمین جریان رودخانه از خود نشان داده است. علاوه بر آن، شاخص‌های آماری مربوط به مرحله آموزش مدل یادشده به مقادیر مطلوب نزدیکتر است. این در حالی است که عملکرد سایر مدل‌ها تقریباً مشابه یکدیگر است. با مقایسه مقادیر RMSE مدل‌ها بهازی بهترین الگو در مرحله صحت‌سنگی می‌توان دریافت که میزان کاهش خطای یادشده در مدل WNN نسبت به مدل‌های ANN، GEP و LS-SVM به ترتیب^{۲۶} و^{۲۹} درصد بوده است.

نرم‌السازی داده‌ها

گام مهم قبل از وارد کردن داده‌ها به مدل، نرم‌السازی داده‌هاست. این عمل به خصوص وقتی دامنه تغییرات ورودی‌ها زیاد باشد کمک شایانی به آموزش بهتر و سریع تر مدل می‌کند. اصولاً وارد کردن داده‌ها به صورت خام موجب کاهش سرعت و دقت شبکه می‌شود [۲۳]. برای نرم‌السازی داده‌های تحقیق حاضر از رابطه^۸ استفاده شد. در این رابطه، X_n مقدار نرم‌الساز شده ورودیⁱ، X_{\max} و X_{\min} به ترتیب مقادیر بیشترین و کمترین داده‌هاست.

$$X_n = \frac{X_i - X_{\min}}{X_{\max} - X_{\min}} \quad (8)$$

یافته‌ها

معیارهای ارزیابی مدل

در تحقیق حاضر به منظور ارزیابی دقت و کارآیی مدل‌ها از نمایه‌های ضریب همبستگی (R)، ریشه میانگین مربعات خطای (RMSE) و ضریب نش-ساتکلیف (NS) طبق روابط زیر استفاده شد. بهترین مقدار برای معیارهای یادشده به ترتیب یک، صفر و یک است.

$$R = \frac{\sum_{i=1}^N (Q_i^o - \bar{Q}^o)(Q_i^p - \bar{Q}^p)}{\sqrt{\sum_{i=1}^N (Q_i^o - \bar{Q}^o)^2 \sum_{i=1}^N (Q_i^p - \bar{Q}^p)^2}} \quad (9)$$

$$RMSE = \sqrt{\frac{\sum_{i=1}^N (Q_i^o - Q_i^p)^2}{N}} \quad (10)$$

$$NS = 1 - \frac{\sum_{i=1}^N (Q_i^o - Q_i^p)^2}{\sum_{i=1}^N (Q_i^o - \bar{Q}^o)^2} \quad (11)$$

در روابط یادشده، Q_i^o و Q_i^p به ترتیب مقادیر دبی مشاهداتی و محاسباتی توسط مدل در گام زمانی i ، N تعداد گام‌های زمانی، \bar{Q}^o و \bar{Q}^p نیز به ترتیب میانگین مقادیر دبی مشاهداتی و محاسباتی است. علاوه بر معیارهای یادشده از نمودارهای پراکنش حول خط یک به یک و سری زمانی مقادیر مشاهداتی و محاسباتی برای مقایسه و تحلیل بیشتر نتایج استفاده شد.

ارزیابی مدل‌ها بر اساس شاخص‌های آماری در جدول‌های ۶ تا ۹ شاخص‌های آماری عملکرد مدل‌های استفاده شده در تحقیق حاضر برای مراحل آموزش و

جدول ۶. مقادیر شاخص‌های آماری عملکرد مدل کمترین مربعات ماشین بردار پشتیبان برای الگوهای مختلف در مراحل آموزش و صحبت‌سننجی

صحبت‌سننجی				آموزش			
- نش ساتکلیف	ریشه میانگین مربعات خطأ (m³/s)	ضریب همبستگی	- نش ساتکلیف	ریشه میانگین مربعات خطأ (m³/s)	ضریب همبستگی	الگو	
.	۱/۴۴۳	۰/۰۳۱	۰/۰۰۲	۰/۶۹۲	۰/۰۴۶	۱	
۰/۰۰۱	۱/۴۴۲	۰/۰۴۶	۰/۰۰۴	۰/۶۹۲	۰/۰۶۴	۲	
۰/۰۰۳	۱/۴۴۱	۰/۰۶۰	۰/۰۰۵	۰/۶۹۱	۰/۰۷۶	۳	
۰/۵۴۰	۰/۹۸۰	۰/۷۵۰	۰/۸۲۵	۰/۲۸۹	۰/۹۰۸	۴	
۰/۵۴۰	۰/۹۸۱	۰/۷۵۲	۰/۸۲۵	۰/۲۸۹	۰/۹۰۸	۵	
۰/۵۴۲	۰/۹۷۹	۰/۷۵۴	۰/۸۲۵	۰/۲۸۹	۰/۹۰۸	۶	

جدول ۷. مقادیر شاخص‌های آماری عملکرد مدل شبکه‌های عصبی مصنوعی برای الگوهای مختلف در مراحل آموزش و صحبت‌سننجی

صحبت‌سننجی				آموزش			
- نش ساتکلیف	ریشه میانگین مربعات خطأ (m³/s)	ضریب همبستگی	- نش ساتکلیف	ریشه میانگین مربعات خطأ (m³/s)	ضریب همبستگی	الگو	
۰/۰۰۱	۱/۴۴۳	۰/۰۴۱	۰	۰/۶۹۴	۰/۰۳۱	۱	
۰/۰۰۴	۱/۴۴۱	۰/۰۶۴	۰/۰۰۳	۰/۶۹۲	۰/۰۶۷	۲	
.	۱/۴۴۴	۰/۰۱۴	۰	۰/۶۹۳	۰/۰۳۴	۳	
۰/۴۱۶	۱/۱۱۱	۰/۶۶۰	۰/۸۲۱	۰/۲۹۳	۰/۹۰۷	۴	
۰/۳۶۷	۱/۱۶۱	۰/۶۱۷	۰/۸۲۸	۰/۲۸۷	۰/۹۱۰	۵	
۰/۵۷۳	۰/۹۵۲	۰/۸۳۰	۰/۸۲۷	۰/۲۸۸	۰/۹۰۹	۶	

جدول ۸. مقادیر شاخص‌های آماری عملکرد مدل هیبرید موجک- عصبی برای الگوهای مختلف در مراحل آموزش و صحبت‌سننجی

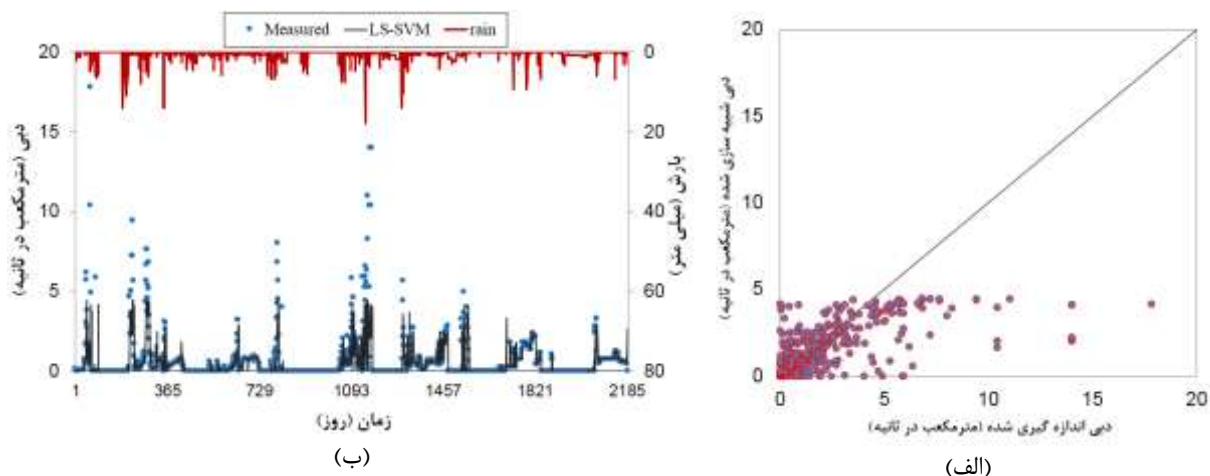
صحبت‌سننجی				آموزش			
- نش ساتکلیف	ریشه میانگین مربعات خطأ (m³/s)	ضریب همبستگی	- نش ساتکلیف	ریشه میانگین مربعات خطأ (m³/s)	ضریب همبستگی	الگو	
۰/۰۰۶	۱/۴۳۸	۰/۰۸۵	۰/۰۱۷	۰/۶۸۵	۰/۱۳۱	۱	
۰/۰۰۳	۱/۴۴۱	۰/۰۷۰	-۰/۰۰۱	۰/۶۹۴	۰/۰۲۸	۲	
.	۱/۴۴۵	۰/۰۳۷	۰/۰۰۴	۰/۶۹۴	۰/۰۸۱	۳	
۰/۷۴۱	۰/۷۳۶	۰/۸۶۵	۰/۹۴۰	۰/۱۶۹	۰/۹۶۹	۴	
۰/۷۶۷	۰/۶۹۶	۰/۸۷۷	۰/۹۳۱	۰/۱۸۲	۰/۹۶۴	۵	
۰/۷۲۶	۰/۷۵۷	۰/۸۶۷	۰/۸۳۰	۰/۲۹۵	۰/۹۲۵	۶	

جدول ۹. مقادیر شاخص‌های آماری عملکرد مدل برنامه‌ریزی بیان ژن برای الگوهای مختلف در مراحل آموزش و صحبت‌سننجی

الگو	ضریب همبستگی	ریشه میانگین مربعات خطای (m^3/s)	آموزش		صحبت‌سننجی	
			نش- ساتکلیف	ریشه میانگین مربعات خطای (m^3/s)	نش- ساتکلیف	ضریب همبستگی
۱	۰/۰۳۲	۰/۶۹۳	۰/۰۳۳	۱/۴۴۳	۰/۰۰۲	۱/۴۴۲
۲	۰/۰۵۵	۰/۶۹۲	۰/۰۰۳	۰/۰۵۲	۰/۰۰۱	۱/۴۴۳
۳	۰/۰۳۰	۰/۹۱۶	۰/۰۵۳	۰/۷۹۱	۰/۵۸۱	۰/۹۳۶
۴	۰/۹۰۳	۰/۲۹۷	۰/۸۱۵	۰/۸۱۸	۰/۶۵۷	۱/۰۵۲
۵	۰/۹۰۵	۰/۲۹۵	۰/۸۱۸	۰/۸۲۶	۰/۵۵۲	۰/۹۶۷
۶	۰/۹۰۹	۰/۲۸۸	۰/۸۲۶			

می‌دهد در مدل WNN همپوشانی بهتری بین مقادیر مشاهداتی و پیش‌بینی شده وجود دارد. همچنین ضعف مدل‌ها در محاسبه مقادیر دبی بیشینه کاملاً نمایان است. با وجود این، دقت مدل WNN در این خصوص نیز نسبت به سایر مدل‌ها بیشتر و تخمین بهتری از مقادیر پیک به همراه داشته است. البته شایان یادآوری است که اغلب مدل‌های هوشمند در درون‌یابی مقادیر در مقایسه با برون‌یابی، توانایی بیشتری دارند و بنابراین عملکرد آنها در پیش‌بینی مقادیر میانگین بهتر از مقادیر حدی (بیشینه و کمینه) است.

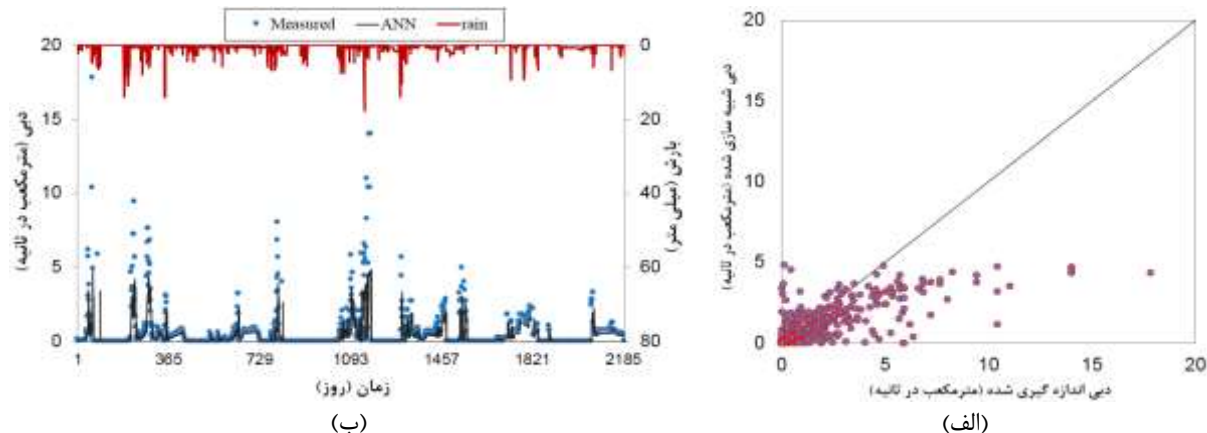
ارزیابی مدل‌ها بر اساس نمودارهای پراکنش و سری زمانی در شکل‌های ۲ تا ۵ نمودارهای پراکنش حول خط یک به یک ($y=x$) و سری زمانی مدل‌های استفاده شده در تحقیق حاضر برای مرحله صحبت‌سننجی و بهازای بهترین الگو نمایش داده شده است. همان طور که ملاحظه می‌شود در مدل WNN پراکنش مناسب‌تری حول محور یک به یک دیده می‌شود که نشان‌دهنده همبستگی بیشتر بین مقادیر مشاهداتی و پیش‌بینی شده توسط مدل یادشده است. در سایر مدل‌ها و بهخصوص بهازای مقادیر بیشینه، حالت کم‌برآورد^۱ دیده می‌شود. نمودارهای سری زمانی نیز نشان



شکل ۲. نمودارهای به‌دست‌آمده از مدل کمترین مربعات ماشین بردار پشتیبان بهازای بهترین الگو در مرحله صحبت‌سننجی

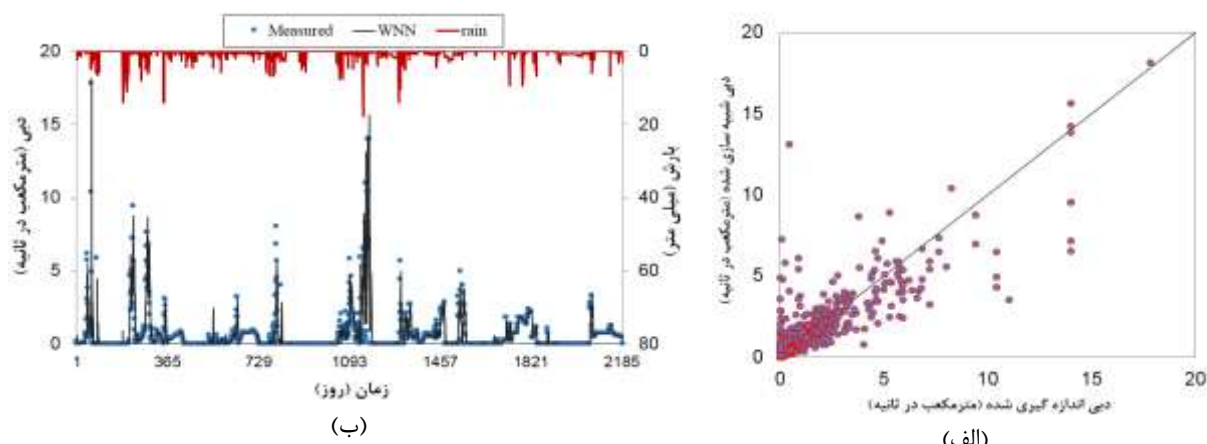
(الف) پراکنش حول محور یک به یک؛ (ب) سری زمانی مقادیر مشاهداتی و پیش‌بینی شده

1. Under estimate



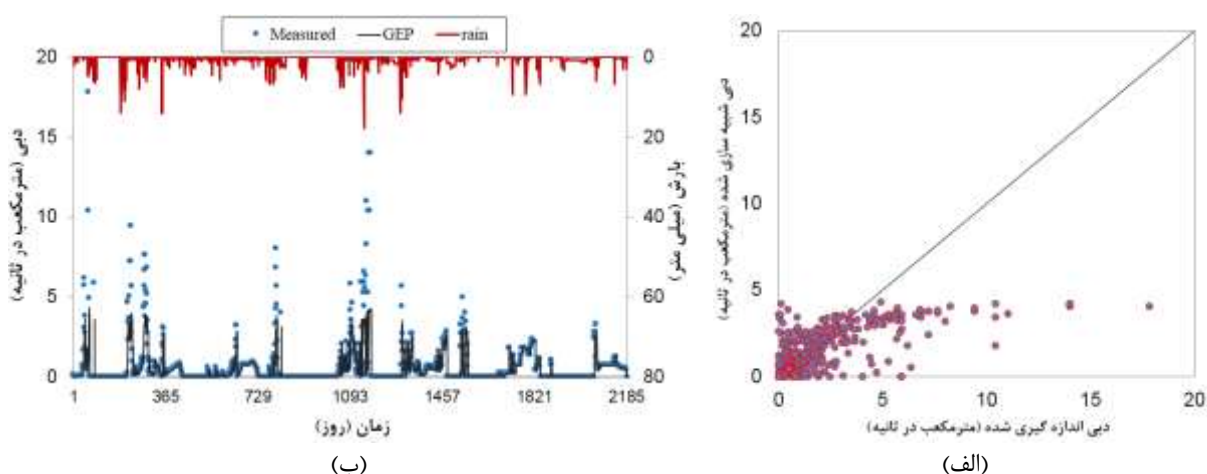
شکل ۳. نمودارهای بهدست آمده از مدل شبکه‌های عصبی مصنوعی بهازای بهترین الگو در مرحله صحبت‌سنگی

الف) پراکنش حول محور یک به یک؛ ب) سری زمانی مقادیر مشاهداتی و پیش‌بینی شده



شکل ۴. نمودارهای بهدست آمده از مدل هیبرید موجک-عصبی بهازای بهترین الگو در مرحله صحبت‌سنگی

الف) پراکنش حول محور یک به یک؛ ب) سری زمانی مقادیر مشاهداتی و پیش‌بینی شده



شکل ۵. نمودارهای بهدست آمده از مدل برنامه‌ریزی بیان ژن بهازای بهترین الگو در مرحله صحبت‌سنگی

الف) پراکنش حول محور یک به یک؛ ب) سری زمانی مقادیر مشاهداتی و پیش‌بینی شده

ارزیابی مدل‌ها در پیش‌بینی دیجیتالیزه (سیلاب)

مقادیر بیشینه دیگر بهترین الگوهای مدل‌های مختلف و مقادیر مشاهداتی متناظر آنها به همراه قدر مطلق خطای نسبی هر مدل در جدول ۱۱ رایه شده است. شایان یادآوری است که برای محاسبه خطای نسبی از رابطه ۱۲ استفاده شد. در رابطه یادشده، RE معرف خطای نسبی، Q_0 و Q_c به ترتیب مقادیر دیگر بیشینه مشاهداتی و پیش‌بینی شده است.

$$RE(\%) = \left| \frac{Q_o - Q_c}{Q_o} \right| \times 100 \quad (12)$$

تخمین دبی بیشینه جریان (دبی سیالاب) در بازه‌های پایین دست رودخانه، به منظور مدیریت و کنترل سیالاب بسیار اهمیت دارد. با توجه به نتایج جدول ۱۱ مشاهده می‌شود که کمترین خطای در تخمین دبی بیشینه مربوط به مدل هیبرید موجک-عصبی و به مقدار $۳۰/۱۹$ درصد است. مدل‌های LS-SVM و GEP نیز به ترتیب در رتبه‌های بعدی قرار دارند.

جدول ۱۰. نتایج آماره F (ANOVA) برای مدل‌های مختلف بهازای سری داده‌های دوره صحت‌سنجی

مقدار سطح معناداري	F آماره	مدل
٠/٠٠٠	٣٤/٨٧	ANN
٠/٠٠٤	٨/٣٢	LS-SVM
٠/٠٠٢	٩/٥٣	GEP
٠/٧٥٠	٠/١١	WNN

جدول ۱۱. کارآیی مدل‌های مطالعه شده در پیش‌بینی دبی پیشینه جریان

خطای نسبی (درصد)				مقدار پیش‌بینی شده (m ³ /s)				مقدار دبی بیشینه
WNN	ANN	GEP	LS-SVM	WNN	ANN	GEP	LS-SVM	مشاهداتی (m ³ /s)
۱/۸۱۱	۷۵/۶۱۰	۷۷/۲۴۰	۷۶/۱۱۱	۱۸/۱۲۲	۴/۳۴۱	۴/۰۵۱	۴/۱۴۵	۱۷/۸
۱/۰۲۰	۶۸/۹۴۴	۷۱/۰۶۳	۸۵/۲۸۵	۱۳/۸۵۷	۴/۲۴۷	۴/۰۵۱	۲/۰۶۰	۱۴/۰
۱/۸۷۳	۶۶/۵۱۲	۶۹/۸۴۱	۸۴/۵۹۸	۱۴/۲۲۴	۴/۶۸۸	۴/۲۲۲	۲/۱۵۶	۱۴/۰
۳۱/۸۴۰	۶۶/۴۰۹	۶۹/۸۴۱	۸۴/۴۵۸	۹/۵۴۲	۴/۷۰۲	۴/۲۲۲	۲/۱۷۵	۱۴/۰
۴۸/۶۹۴	۶۷/۰۷۱	۶۹/۸۴۱	۸۴/۰۷۲	۷/۱۸۲	۴/۶۱۰	۴/۲۲۲	۲/۲۲۹	۱۴/۰
۵۲/۳۷۷	۶۶/۸۷۵	۶۹/۸۴۱	۸۴/۰۴۴	۶/۵۲۷	۴/۶۳۷	۴/۲۲۲	۲/۲۲۳	۱۴/۰
۶۷/۷۶۶	۶۸/۰۰۹	۶۶/۸۰۸	۵۹/۷۰۰	۳/۵۴۵	۴/۵۱۸	۳/۶۵۱	۴/۴۲۲	۱۱/۰
۵۸/۴۴۶	۸۸/۰۵۷۹	۸۲/۹۵۹	۸۳/۹۳۷	۴/۳۲۱	۱/۱۸۷	۱/۷۷۲	۱/۶۷۰	۱۰/۴
۷/۰۷۴	۵۹/۸۲۹	۵۹/۹۲۸	۵۳/۱۸۴	۸/۷۴۴	۳/۷۸۰	۳/۷۷۰	۴/۴۰۵	۹/۴۱
۳۰/۱۹	۶۹/۷۶	۷۰/۱۸۲	۷۷/۳۳	میانگین قدر مطلق خطا (درصد)				

Modeling and Simulation Society of Australia and New Zealand. 2005: 1841-1847.

- [5].Aytek A, Alp M. An application of artificial intelligence for rainfall-runoff modeling. *Journal of Earth System Science*. 2008;117(2):145-155.
- [6].Nourani V, Baghanam AH, Adamowski J, Gebremichael M. Using self-organizing maps and wavelet transforms for space-time pre-processing of satellite precipitation and runoff data in neural network based rainfall-runoff modeling. *Journal of Hydrology*. 2013;476:228-243.
- [7].Nayak PC, Venkatesh B, Krishna B, Sharad KJ. Rainfall-runoff modeling using conceptual, data driven, and wavelet based computing approach. *Journal of Hydrology*. 2013;493:57-67.
- [8].Badrzadeh H, Sarukkalige R, Jayawardena AW. Hourly runoff forecasting for flood risk management: Application of various computational intelligence models. *Journal of Hydrolog*. 2015;529:1633-1643.
- [9].Nourani V. An Emotional ANN (EANN) approach to modeling rainfall-runoff process. *Journal of Hydrology*. 2016;544:267-277.
- [10]. Behzad M, Asghari K, Eazi M, Palhang M. Generalization performance of support vector machines and neural networks in runoff modeling. *Expert Systems with applications*. 2009;36(4):7624-7629.
- [11]. Botsis D, Latinopoulos P, Diamantaras K. Rainfall-Runoff Moeling Using Suport Vector Regression and Artificial Neural Networks. 12th International Conference on Environmental Science and Technology (CEST2011), Rhodes, Greece, 8-10 September. 2011
- [12]. Adamowski J. Using support vector regression to predict direct runoff, base flow and total flow in a mountainous watershed whit limited data in Uttarakhand, India. *Journal of Land Reclamation*. 2013;45(1):71-83.
- [13]. Ghorbani M. A., and Dehghani R. Application of Bayesian Neural Networks, Support Vector Machines and Gene Expression Programming Analysis of Rainfall - Runoff Monthly (Case Study: Kakarza River). *Irrigation Science and Engineering*. 2016;39(2):125-138. [Persian]
- [14]. Nazeri Tahroodi M, Hashemi R, Ahmadi F, Nazeri Tahroodi Z. Accuracy investigation of ANFIS, SVM and GP models in modelling of river discharge values. *Journal of Echo Hydrology*. 2016;3(3):361-347. [Persian]
- [15]. Vapnic VN. Statistical Learning Theory. Wiley, NEW YORK, USA. 1998

نتیجه‌گیری

در تحقیق حاضر کارآیی مدل‌های ANN، LS-SVM و WNN در تخمین جریان روزانه رودخانه خیاوچای بررسی شد. بدین‌منظور حجم وسیعی از مقادیر دبی و بارش روزانه مشاهداتی طی دوره آماری ۱۵ ساله، در ایستگاه‌های هیدرومتری پل سلطانی واقع بر رودخانه یادشده استفاده شد. بهمنظور پیش‌بینی جریان رودخانه شش الگوی متفاوت تعریف شد. در کلیه مدل‌ها با ترکیب بارش و دبی دقت تخمین جریان روزانه بهبود یافت. بیشترین دقت مدل‌ها در ترکیب ورودی رواناب با یک تأخیر زمانی و بارش‌های روزانه و پیشین فراهم شد. با مقایسه عملکرد مدل‌های استفاده شده در تحقیق حاضر بر اساس شاخص‌های آماری و آزمون ANOVA، می‌توان مدل WNN را به عنوان ابزاری کارآمد و با دقت قابل قبول برای پیش‌بینی جریان روزانه خیاوچای معرفی کرد. کارآیی مدل‌های مختلف در پیش‌بینی دبی بیشینه نیز بررسی شد. نتایج نشان می‌داد عملکرد مدل‌ها در این خصوص ضعیف است و در عین حال مدل WNN در تخمین مقادیر پیک جریان در مقایسه با سایر مدل‌ها به مرتب عملکرد بهتری را به همراه داشت. در مجموع با توجه به نتایج قابل قبول مدل‌های استفاده شده در تحقیق حاضر، ضرایب و توابع به کاررفته برای واسنجی آنها می‌تواند برای تخمین جریان حوضه آبریز خیاوچای بسیار مفید باشد.

منابع

- [1].Saeedi Farzad B. Intelligent simulation of rainfall-runoff using a semi-distributed model with time variables. Ph.D. thesis in civil engineering, Faculty of Engineering, University of Tabriz, Tabriz. 2014. [Persian]
- [2].Whigham PA, Crapper PF. Modeling rainfall-runoff using genetic programming. Mathematical and Computer Modeling. 2001;33:707-721.
- [3].Liong SY, Gautam TR, Khu ST, Babovic V, Keijzer M , Muttill N. Genetic programming: A new paradigm in rainfall runoff modeling. *J Am Water Res Assoc*. 2001;38:705-718.
- [4].Jayawardena AW, Muttill N, Fernando TM. Rainfall-Runoff Modeling Using Genetic Programming. International Congress on

- [16]. Suykens JA, De Brabanter J, Lukas L, Vandewalle J. 2002. Weighted least squares support vector machines: robustness and sparse approximation. *Neurocomputing*. 2002;48(1):85-105.
- [17]. Ghafari G, Vafakhah M. Simulation of rainfall-runoff process using artificial neural network and adaptive neuro-fuzzy interface system (Case study: Hajighoshan watershed). *Journal of Watershed Management Research*. 2013;4(8):120-136. [Persian]
- [18]. Dehghani A, Zanganeh MA, Mosaedi A, Kouhestani N. Comparison of suspended load estimation using sediment rating curve and artificial neural networks. *Journal of Researches on Water and Soil Conservation*. 2009;16(1):30-41. [Persian]
- [19]. Nourani V, Hosseini Baghanam A, Adamowski J, Kisi, O. Applications of hybrid wavelet-Artificial Intelligence models in hydrology. A review. *Journal of Hydrology*. 2014;514(1):358-377.
- [20]. Marofi S, Amir Moradi K, Parsafar N. River flow prediction using Artificial Neural Network and Wavelet Neural Network models (Case study: Barandozchay River). *Journal of Water and Soil Science*. 2013;23(3):93-103. [Persian]
- [21]. Ferreira C. Gene Expression Programming: a New Adaptive Algorithm for Solving Problems. *Complex Systems*. 2001;13(2):87-129.
- [22]. Ferreira C. Automatically defined functions in gene expression programming. In *Genetic Systems Programming*. Springer Berlin Heidelberg. 2006:21-56.
- [23]. Yu P. S., Chen S. T., and Chang I. F. Support vector regression for real-time flood stage forecasting. *Journal of Hydrology*. 2006;328(3):704-716.